

УДК 537.228.535.328

©1994

## ИЗМЕНЕНИЕ ВАЛЕНТНОСТИ ТУЛИЯ В СОЕДИНЕНИЯХ $TmSb_{1-x}Te_x$

*M. Н. Абдусалымова, П. А. Алексеев, Е. С. Клементьев,  
Е. В. Нефедова, В. И. Нижанковский*

Х Проведены измерения концентрационных зависимостей параметров кристаллической решетки, электропроводности, магнитной восприимчивости для серий образцов  $TmSb_{1-x}Te_x$ . Показано, что наряду с концентрационным переходом металл–полупроводник в системе реализуется переход  $Tm^{3+} \rightarrow Tm^{2+}$  в полупроводниковой фазе. Из измерений магнитной восприимчивости следует, что при этом существует область концентраций  $x$ , соответствующая промежуточно-валентному состоянию иона тулия.

Тулий, электронная конфигурация  $4f$ -оболочки которого близка к заполненной и неустойчива, может, вступая в соединения с другими элементами, находиться в состояниях  $Tm^{2+}$  ( $4f^{13}$ ) и  $Tm^{3+}$  ( $4f^{12}$ ). В ряде случаев реализуется состояние с промежуточной валентностью (ПВ) ионов Тм, соответствующее смешанной электронной конфигурации. В отличие от ПВ-соединений с Ce, Sm, Eu, Yb, где одна из двух возможных конфигураций немагнитная ( $J = 0$ ), в соединениях с Тм оба смешивающихся состояния магнитные ( $J \neq 0$ ).

Широко известно соединение тулия  $TmSe$ , которое обладает нестабильной валентностью (средняя валентность  $V_{Tm} = 2.75$  для  $TmSe$  при нормальных условиях). Изменение валентности Тм может осуществляться путем изменения стехиометрии состава, «химического» (за счет замещения ионов Se другими ионами) или гидростатического сжатия [1–5]. Известны результаты исследований свойств систем  $TmSe_{1-x}Te_x$ ,  $Tm_xSe$ , где валентность Тм является функцией от  $x$  [3]. Характерные особенности этих систем: 1) изменение валентности при переходе металл–полупроводник; 2) характер отклонений от закона Кюри–Вейса в температурной зависимости восприимчивости при понижении температуры (происходит увеличение магнитного момента в ПВ-состоянии при  $T < 35$  К) отличается от обычно наблюдаемого в ПВ-соединениях [2, 6]. Кроме того, в соединении  $TmSe$  наблюдается антиферромагнитный фазовый переход при  $T_N \approx 3$  К. Исследования эффектов кристаллического электрического поля (КЭП) с помощью рассеяния нейтронов для  $Tm_xSe$  [7] показывают, что в этом соединении Тм близок к валентно-неустойчивому состоянию при  $x \approx 1.0$ .

В полупроводниковом соединении  $TmTe$  (энергия запрещенной зоны 0.3 эВ) [8] ион тулия имеет стабильную целочисленную валент-

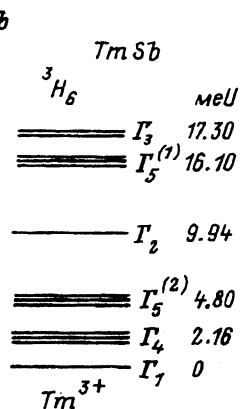
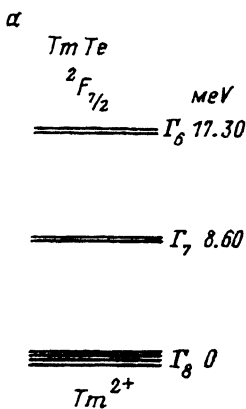


Рис. 1. Схема расщепления в КЭП основного мультиплета  $Tm^{2+}$  в  $TmTe$  [8] (a) и  $Tm^{3+}$  в  $TmSb$  [10] (b).

ность  $Tm^{2+}$ . По данным неупругого магнитного рассеяния нейтронов (НМРН) [7], основной мультиплет  $Tm^{2+}$  расщепляется КЭП на два дублета  $\Gamma_6$  и  $\Gamma_7$  и квартет  $\Gamma_8$  ( $\Gamma_8$  — основное состояние) (рис. 1, a). Наличие двух хорошо различимых переходов ( $\Gamma_8 \rightarrow \Gamma_7$  и  $\Gamma_8 \rightarrow \Gamma_6$ ) указывает на стабильную электронную конфигурацию. Одновременно с этим в энергетическом спектре  $TmTe$  присутствует интенсивное квазиупругое рассеяние (ширина 1.2 мэВ при 10 К), которое характерно для проявлений состояния, близкого к валентной нестабильности.

Таким образом, можно предположить, что внешнее воздействие на это соединение, например замещение ионов Te ионами меньшего радиуса и одинаковой валентности (как реализовано в случае  $Tm(Se)Te$ : радиус иона  $Te^{2-}$  — 0.211 нм, радиус иона  $Se^{2-}$  — 0.194 нм [9]) или ионами другой валентности, но с тем же радиусом способно инициировать ПВ-состояние ионов  $Tm$ . В частности, можно попытаться реализовать такое состояние при замещении двухвалентных ионов Te трехвалентным ионами Sb ( $Te^{2-}$  — 0.211 нм,  $Sb^{3-}$  — 0.208 нм [9]).

В отличие от соединения  $TmTe$  в металлическом соединении  $TmSb$  [10] ион тулия трехвалентен. Из исследований НМРН следует, что мультиплет основного состояния  $^3H_6$  иона  $Tm^{3+}$  расщепляется КЭП на шесть уровней  $\Gamma_1$ ,  $\Gamma_4$ ,  $\Gamma_5^{(2)}$ ,  $\Gamma_2$ ,  $\Gamma_5^{(1)}$ ,  $\Gamma_3$  [11] (рис. 1, b).

Двойные соединения  $TmTe$  и  $TmSb$  имеют одинаковую кристаллическую решетку типа  $NaCl$  и могут образовывать непрерывный ряд твердых растворов.

В данной работе представлены результаты изучения влияния замещения ионов Te ионами Sb в соединении  $TmSb_{1-x}Te_x$  на параметр кристаллической решетки, электропроводность и магнитную восприимчивость, которые анализируются с точки зрения валентного состояния иона  $Tm$ .

## 1. Образцы и эксперимент

Образцы  $TmSb_{1-x}Te_x$  ( $x = 0, 0.1, 0.2, 0.3, 0.4, 0.5, 0.6, 0.8, 0.9, 1.0$ ) были получены методом низкотемпературного синтеза из исходных элементов при  $450 - 500^\circ C$ . Фазовый анализ проводился на дифрактометре ДРОН-3 ( $CuK\alpha$ -излучение). Для  $TmTe$  и некоторых сплавов промежуточных составов наблюдались рефлексы от посторонних фаз, опреде-

ленные как  $Tm_2O_3$ ,  $Te_2O_5$  и  $Tm_2Te_3$ . Для образцов  $TmSb$  и  $TmSb_{0.1}Te_{0.9}$  посторонних фаз обнаружено не было.

Измерения параметра решетки  $a(x)$  соединений  $TmSb_{1-x}Te_x$  проводились рентгеновским методом на порошковых образцах при комнатной температуре по совокупности брэгговских рефлексов в диапазоне углов  $2\theta = 70 \div 140^\circ$ .

Измерения магнитной восприимчивости выполнены в интервале температур  $T = 4.2 \div 300$  К для образцов  $TmSb$  и  $TmSb_{0.1}Te_{0.9}$ . Измерения электропроводности соединений  $TmSb_{1-x}Te_x$  ( $0 \leq x \leq 1$ ) при  $T = 10, 100, 200$  К выполнены стандартным четырехконтактным методом.

## 2. Результаты и обсуждение

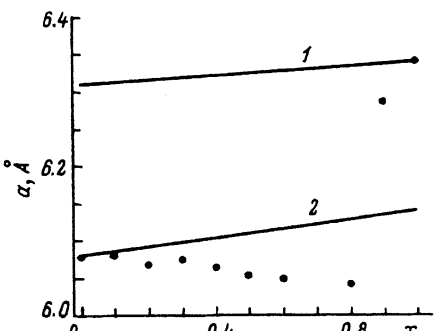
Результаты измерений параметра решетки  $a(x)$  для соединений  $TmSb_{1-x}Te_x$  представлены на рис. 2. Видно достаточно резкое изменение параметра решетки исследуемых соединений вблизи  $x = 0.85$ , которое соответствует изменению объема элементарной ячейки  $\Delta V/V \approx 15\%$ . Линиями показаны гипотетические зависимости  $a(x)$ , соответствующие неизменной валентности Тм в отсутствие перехода металл–полупроводник.

Зависимость электропроводности от концентрации  $x$  представлена на рис. 3. В области концентраций  $x < 0.4$  величина электропроводности характерна для металлических соединений. Вблизи  $x \approx 0.4$  наблюдается резкое уменьшение электропроводности до значений, меньших  $\approx 100 \Omega^{-1} \cdot \text{см}^{-1}$ , что соответствует полупроводниковым соединениям. Температурный ход электропроводности при  $x = 0.5$  сохраняет металлический характер, при  $0.6 \leq x \leq 0.8$  соответствует переходной области, а при  $x \approx 0.9$  устанавливается полностью полупроводниковый тип проводимости. Таким образом, область перехода металл–полупроводник соответствует концентрациям  $x$ , меньшим, чем концентрация, при которой наблюдается скачкообразное изменение параметра решетки, т.е. можно утверждать, что это изменение параметра решетки при  $x \approx 0.85$  не является следствием перехода металл–полупроводник и связано с другой причиной.

Результаты магнитных измерений представлены на рис. 4. Для двойного соединения  $TmSb$  магнитная восприимчивость вплоть до низких температур подчиняется закону Кюри–Бейса. При низких температурах ( $T < 15$  К) наблюдаются отклонение  $\chi^{-1}(T)$  от линейного закона и частичное уменьшение величины магнитного момента (рис. 5).

Рис. 2. Концентрационная зависимость параметра решетки  $a(x)$  для соединений  $TmSb_{1-x}Te_x$ .

Линии 1 и 2 гипотетические составы на основе двух- и трехвалентных ионов Тм соответственно.



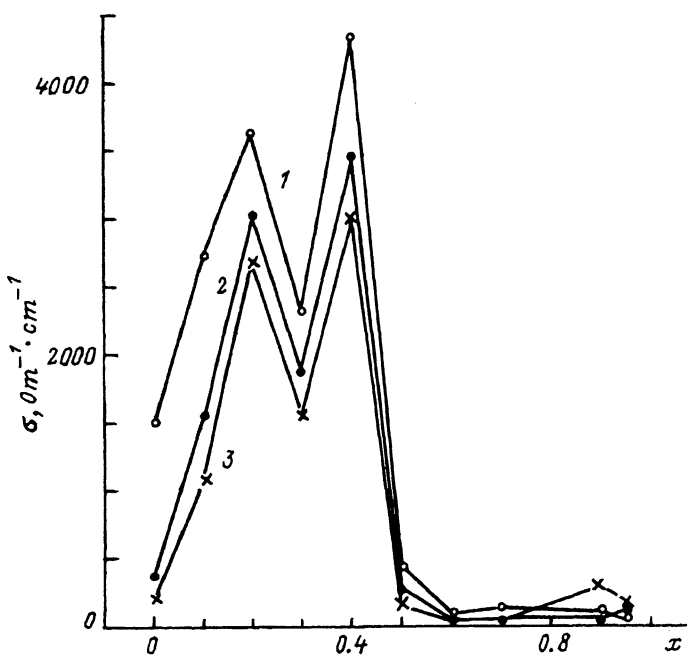


Рис. 3. Зависимость электропроводности от концентрации  $x$  для  $TmSb_{1-x}Te_x$ .  
Т,К: 1 — 10, 2 — 100, 3 — 200.

Такое температурное поведение магнитной восприимчивости соответствует ВанФлековскому парамагнетизму. Это хорошо описывается эффектами КЭП на основе схемы уровней рис. 1 и согласуется с литературными данными для  $TmSb$  [10,11]. Наклон линии  $\chi^{-1}(T)$  для высокотемпературной области соответствует величине эффективного магнитного момента  $\mu_{eff} = 7.20\mu_B$ /атом. Из сравнения величин  $\mu_{eff}$  свободного иона  $4.58\mu_B$  в  $Tm^{2+}$  и  $7.56\mu_B$  в  $Tm^{3+}$  следует, что полученная величина  $\mu_{eff}$  свидетельствует о трехвалентности иона  $Tm$  в соединении  $TmSb$ .

Для  $TmSb_{0.1}Te_{0.9}$  при температурах выше 30 К магнитная восприимчивость подчиняется закону Кюри–Вейса, а эффективный магнитный момент  $\mu_{eff} = 5.38\mu_B$ /атом (рис. 4). При  $T < 30$  К наблюдается отклонение восприимчивости от закона Кюри–Вейса, соответствующее увеличению эффективного магнитного момента (рис. 5).

Наблюданное скачкообразное изменение параметра решетки в области  $x = 0.8 \div 0.9$  позволяет предположить изменение валентного состояния  $Tm$  вблизи фазового перехода металл–полупроводник, но в пределах полупроводниковой фазы, т.е. при  $x < 0.9$ . Это косвенно подтверждается меньшими, чем у гипотетических металлических аналогов, значениями постоянной решетки для области  $0.3 < x < 0.8$ . Качественно зависимость параметра решетки от концентрации сходна с полученной в работе [1] для  $TmSb_{1-x}Te_x$ , однако существенным отличием является сдвиг скачка из области  $x = 0.2 \div 0.4$  для  $Tm(Se)Te$  в область  $x = 0.8 \div 0.9$  для  $Tm(Sb)Te$ . Возможно, это связано с измене-

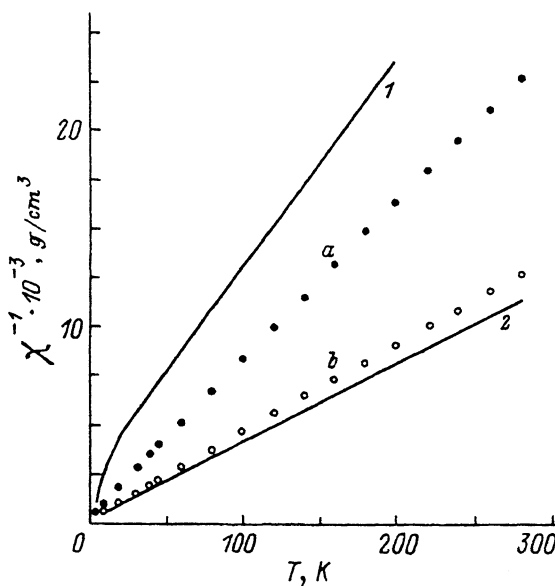


Рис. 4. Зависимость обратной магнитной восприимчивости от температуры для TmSb<sub>0.1</sub>Te<sub>0.9</sub> (a) и TmSb (b).

Линии — расчет для Tm<sup>2+</sup> в TmTe (1) и Tm<sup>3+</sup> в TmSb (2) с учетом расщепления в КЭП и эффективными высокотемпературными моментами 4.58  $\mu_B$  и 7.56  $\mu_B$  соответственно.

нием причин, приводящих к изменению валентности. В первом случае он обусловлен различием в ионных радиусах Se<sup>2-</sup> и Te<sup>2-</sup>, во втором случае — в основном различием в валентностях Sb<sup>3-</sup> и Te<sup>2-</sup>. Валентность является, по-видимому, более сильным фактором, и изменение в электронной подсистеме стимулирует переход уже при малых концентрациях Sb.

Можно предположить, что в области концентраций, для которой характерно резкое изменение параметра решетки, реализуется состояние

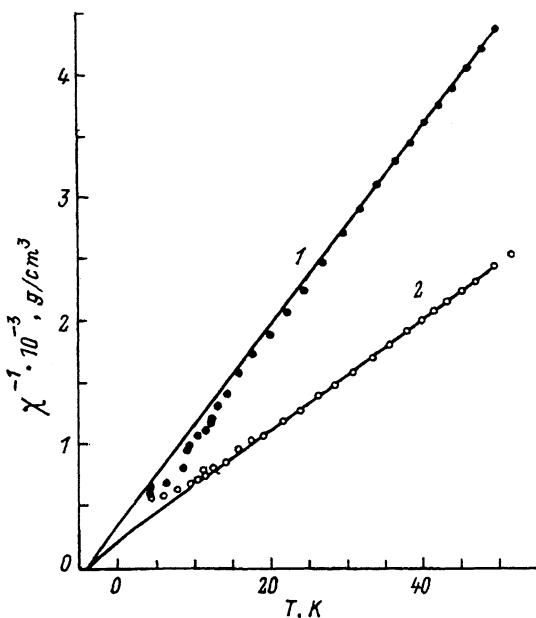


Рис. 5. Область низкотемпературных отклонений в обратной магнитной восприимчивости TmSb<sub>0.1</sub>Te<sub>0.9</sub> (1) и TmSb (2) от закона Кэри-Вейса с  $\mu_{eff} = 5.38 \mu_B$  и  $7.2 \mu_B$  соответственно.

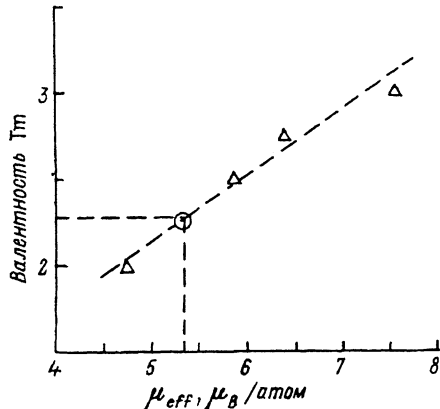


Рис. 6. Взаимосвязь изменения валентности и эффективного магнитного момента Тм по данным [1,3].

Линия проведена на глаз. Кружок соответствует  $\mu_{eff}(\text{TmSb}_{0.1}\text{Te}_{0.9})$ .

с ПВ для ионов тулия. Анализ температурной зависимости магнитной восприимчивости образца  $\text{TmSb}_{0.1}\text{Te}_{0.9}$  показывает, что она аналогична полученной для промежуточно-валентных соединений  $\text{Tm}_x\text{Se}$ ,  $\text{TmSe}_{1-x}\text{Te}_x$ , где обнаружено частичное подавление полного момента в высокотемпературной области, а при  $T < 35$  К имеется характерный для ПВ-систем на основе Тм низкотемпературный подъем восприимчивости.

Таким образом, температурная зависимость магнитной восприимчивости  $\text{TmSb}_{0.1}\text{Te}_{0.9}$  согласуется с предположением о существовании ПВ-состояния вблизи скачка параметра решетки. Используя данные [1,3], где независимым образом определены  $\mu_{eff}$  и валентность Тм, можно проследить корреляцию валентности тулия и высокотемпературного эффективного момента  $V(\mu_{eff})$ . На рис. 6 полученная для  $\text{TmSb}_{0.1}\text{Te}_{0.9}$  величина  $\mu_{eff} = 5.38 \mu_B/\text{атом}$  соответствует в этом случае средней валентности Тм  $V \approx 2.3$ .

Вышеизложенное свидетельствует о том, что электронный фазовый переход в системе  $\text{Tm}(\text{Sb})\text{Te}$  реализуется в области малых концентраций ионов  $\text{Sb}^{3-}$ , т.е. замещение неизовалентными ионами близкого радиуса является эффективным способом воздействия на валентное состояние тулия. Результаты магнитных измерений подтверждают существование промежуточно-валентного состояния ионов тулия вблизи фазового перехода.

Более детальное исследование этого состояния, в частности получение основных микроскопических параметров, требует проведения спектроскопических экспериментов.

Авторы глубоко признательны В.Г.Орлову за стимулирующие дискуссии и любезно предоставленные результаты расчетов эффектов КЭП, В.Н.Лазукову, И.П.Садикову за постоянный интерес к работе, полезные обсуждения и замечания.

#### Список литературы

- [1] Kaldis E., Fritzler B. // Prog. Solid State Chem. 1982. V. 14. P. 95–139.
- [2] Battlog B., Ott H.R., Kaldis, Thöni W., Wachter P. // Phys. Rev. B. 1979. V. 19. N 1. P. 247–259.
- [3] Battlog B. // Phys. Rev. B. 1981. V. 23. N 2. P. 650–663.

- [4] Syassen K., Winzen H., Leger J.M., Oki K., Suryanarayanan R., Bach H. // Phys. C: Sol. St. Phys. 1986. V. 19. P. 3753-3763.
- [5] Ribault M., Flouquet J., Haen P., Lapierre F., Mignot J.M., Holtzberg F. // Phys. Rev. Lett. 1980. V. 45. N 15. P. 1295-1298.
- [6] Boppert H. // JMMM. 1985. V. 47-48. P. 436-442.
- [7] Bucher E., Andres K., di Salvo F.J., Maita J.P., Gossard A.C., Cooper A.S., Hull G.W., Jr. // Phys. Rev. B. 1975. V. 11. N 1. P. 500-513.
- [8] Furrer A., Bührer W., Wachler P. Valence instabilities / Ed. P. Wachter and H. Boppert. North-Holland Publishing Company. 1982. P. 319-323.
- [9] Рабинович В.А., Хавин З.Я. Краткий химический справочник. М.: Химия, 1978. С. 22-23.
- [10] Mullen M.E., Lüthi B., Wang P.S. // Phys. Rev. B. 1974. V. 10. N 1. P. 186-199.
- [11] Birgeneau R.J., Bucher E., Passel L., Turberfield K.C. // Phys. Rev. B. 1971. V. 4. N 3. P. 718-725.

Институт атомной энергии им. И.В.Курчатова  
Москва

Поступило в Редакцию  
19 июля 1993 г.